

# 特別講演

## □学術功績賞受賞記念

# スラグによる溶鉄中不純物の除去反応の動力学

Kinetics of Removal Reaction of Impurity in Iron Melts by Slags

森 克巳  
Katsumi Mori

九州大学 大学院 工学研究院材料工学部門 教授

## 1 はじめに

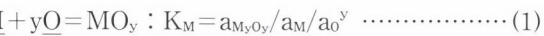
鉄鋼精錬プロセスにおける鋼中不純物の多くはスラグとの反応を介して除去されるが、精錬時間が十分に長い場合、精錬終了時にはスラグ-メタル間はほぼ平衡状態に近く、反応挙動の推定には熱力学的平衡に関するデータで十分であったが、近年プロセスの高速化、高効率化に対する要求が強まるにつれて、平衡データのみならず、反応の速度論からの現象の解明も不可欠である。

一般に、溶鉄は複数の不純物を含み、それらの除去反応は単独ではなく、複数の反応が同時に進行し、相互に影響しあうので、その挙動は物理化学的反応条件とともに、共存する不純物の種類にも大きく依存する。その結果、反応系の進行は複雑で、速度論的挙動に及ぼす各種因子の影響の推定には反応モデルに基づくシミュレーションが有効な手段と考えられる。そのようなモデルの一つが競合反応モデルで、各所でスラグ-メタル反応の速度実験結果の解析に利用されている。

とくに、製鋼プロセスでは脱りん、脱硫に強い関心が寄せられている。最近では製鋼スラグの発生量の低減化を目指し、脱けいから脱りんまでの溶鉄予備処理、転炉吹鍊を含めたプロセス全体の効率化が再度注目されている。そこで、本稿では製鋼プロセスにおける脱りん、脱硫反応を例に競合反応モデルの適用結果および他の分野への応用例について述べる。

## 2 競合反応モデル<sup>1)</sup>

酸化精錬では溶鉄中の不純物Mの酸化反応は(1)式で表される。高温でのスラグ-メタル間の元素Mの交換反応の進行は比較的速く、界面ではほぼ平衡を保ちながら進行すると考えられる。



その場合、総括反応は物質移動過程で律速され、M(=P、Si、Mn、S)の除去速度は(2)式の濃度(mass%)の時間変化として表される。

$$-d[\%M]/dt = A \cdot k_M \{L_M[M] - (M)\}/W_m \quad \dots \dots \dots (2)$$

$$1/k_M = L_M/k_m \rho_m + 1/k_s \rho_s : (L_M = B_M a_0^y) \quad \dots \dots \dots (3)$$

$$-d[\%O]/dt = A \cdot k_m \rho_m \{a_0^i/f_o - [O]\}/W_m \quad \dots \dots \dots (4)$$

$$-d(\%FeO)/dt = A \cdot k_s \rho_s \{(FeO) - L_{Fe} a_0^i\}/W_s \quad \dots \dots \dots (5)$$

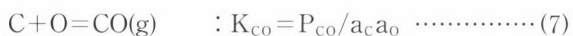
ここで、a : 溶鉄、スラグ中の成分の活量、f : 活量係数、K : 平衡定数、A : 界面積、k : 物質移動係数、ρ : 密度、W : 質量、L<sub>M</sub> : 成分Mの分配値、B<sub>M</sub> : 見かけの平衡定数である。添字m、s、iは溶鉄、スラグ、界面を意味する。

同一界面で複数の元素に関する反応が同時に進行する場合、各反応に関与する酸素の活量は界面では共通となり、次式の酸素収支の関係で決まる。

$$\begin{aligned} & - \frac{W_s d(Fe)}{M_{Fe} dt} - \frac{W_m d[O]}{M_o dt} - \frac{W_m d[S]}{M_s dt} \\ & = - \frac{2.5 W_m d[P]}{M_P dt} - \frac{2 W_m d[Si]}{M_{Si} dt} \end{aligned} \quad \dots \dots \dots (6)$$

(6)式に各元素の移動速度式を代入し、速度パラメータや平衡定数值を与えれば、任意の溶鉄、スラグ組成に対して酸素活量が一義的に定まり、各元素の濃度の経時変化を計算できる。

他方、炭素を含む系では脱炭反応も同時に進行するが、後述の実験結果<sup>2,3)</sup>に見られるように、脱炭反応は進行が遅く、界面化学反応律速と考えられるので、炭素濃度の経時変化は(8)式で与えられる。



$$-d[\%C]/dt = A k_r \{a_C^i a_O^i - P_{CO}/K_{CO}\}/W_m \quad \dots \dots \dots (8)$$

炭素が関与する反応では(6)式の右辺に(8)式を加える必要がある。以下に2、3の特徴的な反応の解析結果を溶鉄

と溶銑との反応に分けて示す。なお、すべての実験は抵抗炉で溶解した溶鉄面上にスラグを上置きする方法で行われた。

### 3 炭素が存在しない系

図1はFeO-CaO-SiO<sub>2</sub>スラグ(CaO/SiO<sub>2</sub>=2, 45%Fe<sub>2</sub>O)とFe-P-Si融体との反応の進行をりんとけい素の濃度変化の関係で示したものである<sup>4)</sup>。P、Siのように酸素との親和力が大きく異なる元素が共存する場合、酸素との親和力が大きいSiがまず酸化され、十分低濃度まで酸化された後、Pの酸化が始まる。実験で得られたks/kmの値は曲線IVの条件とほぼ同じであった。

反応時の各成分の挙動はスラグ、溶鉄の攪拌条件に強く依存するので、モデルに基づきその影響の推定を試みた結果が図中の曲線である。スラグ浴のみを十分に攪拌すると(ks/kmが増大)、界面への酸素の供給速度が増し、界面酸素活量が増大する。その結果、界面で平衡するSi濃度が低下するため、ksが大きくなるにつれて、曲線II、IIIで示される

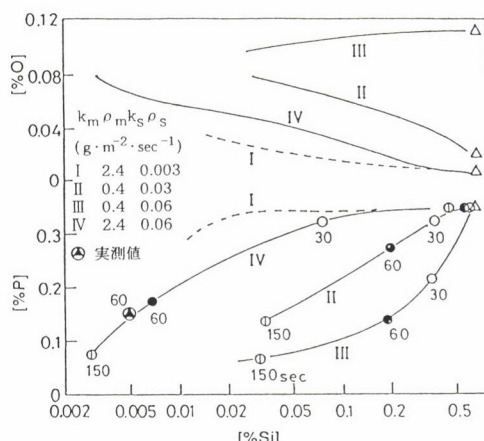


図1 FeO-CaO-SiO<sub>2</sub>スラグによる溶鉄中のP、Sの同時酸化挙動におよぼすks/km比の影響(1600°C)

ように比較的高Si濃度から脱りんが同時に進行し得る。逆に溶鉄の攪拌を強めると、界面へのSiの供給速度が大きくなり、曲線IのようにSiの優先酸化がより顕著になる。

一方、CaF<sub>2</sub>含有スラグによるFe-P-S融体の同時脱りん、脱硫挙動を図2に示す<sup>5)</sup>。図中の曲線は上記モデルによるシミュレーション結果である。脱りんは酸化反応、脱硫は還元反応であるため、酸素ポテンシャルの影響は逆であるが、使用したスラグの脱りん能(phosphate capacity)、脱硫能(sulfide capacity)が大きく、脱りん、脱硫がともに進行し得る条件下では脱硫反応で生成する酸素がりんの酸化に利用できるため、硫黄の共存で脱りん反応がより進行し、その結果、酸素がより多く消費されるため相乗効果により脱硫もより多く進行する。さらに、条件によっては脱酸も可能であることを図は暗示している。環境問題からCaF<sub>2</sub>の使用が制限される場合、その代用としてはアルカリ金属酸化物が考えられる。

上述のように炭素を含まない系では他の不純物の酸化反応、たとえば、スラグによる鋼中Alの再酸化<sup>6)</sup>、スラグ中のCr<sub>2</sub>O<sub>3</sub>のSiによる還元<sup>7)</sup>などに関しても熱力学的に酸素との親和力の大きさに応じた反応の進行であり、競合反応モデルに基づき反応速度論的挙動をある程度予測することが可能である。

### 4 炭素が共存する系

炭素を含む溶鉄とスラグの反応では若干挙動が異なる。図3は温度が異なるが、類似のスラグを用い、溶鉄と溶銑の脱硫反応時の各元素の時間変化である<sup>2)</sup>。溶鉄の場合には脱硫の進行について、溶鉄中の酸素濃度が増加し、それと平衡する濃度までFeがスラグ中に移行する。

一方、溶銑の場合には硫黄との置換反応で生成する酸素がCO気泡として連続的に除かれるので、界面での酸素活量

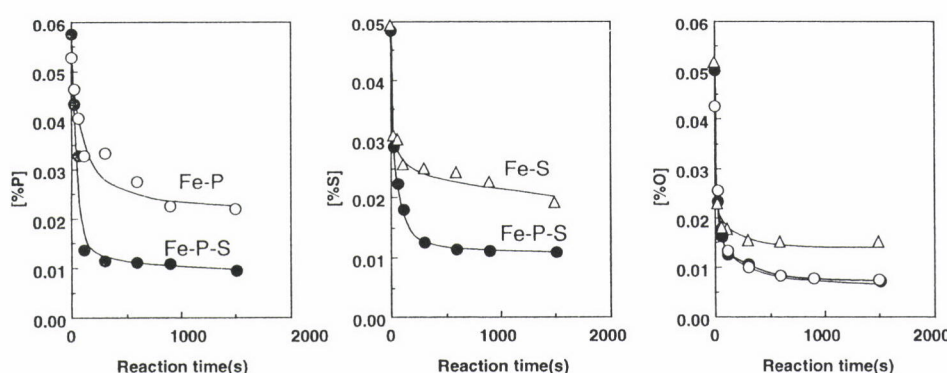
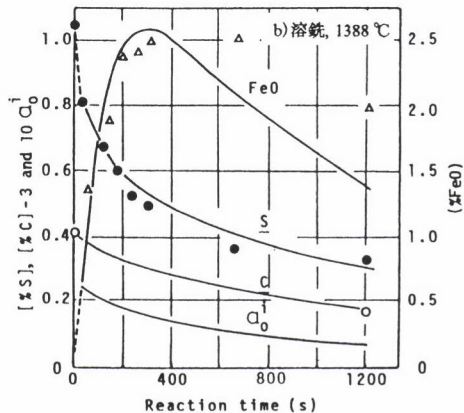
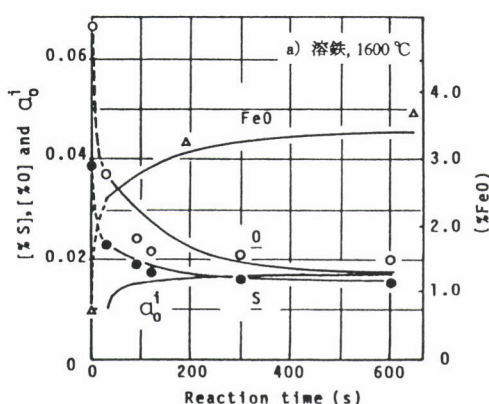


図2 CaF<sub>2</sub>基スラグによる溶鉄の同時脱りん、脱硫、脱酸  
(スラグ: 64.2CaF<sub>2</sub>-26.3CaO-7.1MgO、1600°C)

図3  $\text{CaF}_2$ 基スラグによる溶鉄、溶銑の脱硫

は反応時間とともに低下し、脱硫量が増大する。この場合、溶銑と平衡するスラグ中のFe濃度は1%以下であるにも関わらず、反応初期に溶銑中の炭素との平衡濃度以上にFeがスラグに移行している。このようなFeの過酸化現象はCO気泡の生成速度(脱炭速度)が遅く、界面での酸素の除去に遅れが生じる結果と推定される。したがって、実験後期には脱硫速度が低下するにつれて界面酸素活量が低下し、 $\text{FeO}$ が還元されることが分かる。

溶銑と転炉スラグ(22% $\text{Fe}_t\text{O}$ -43% $\text{CaO}$ -13% $\text{SiO}_2$ -10% $\text{MgO}$ -2% $\text{P}_2\text{O}_5$ )間の1400°Cでの反応挙動を調べた結果を図4に示す<sup>3)</sup>。溶銑組成は $\text{Fe}$ -4%C-0.3%Si-0.1%P-0.07%Sを基本にSi濃度を変えたものである。0.3%Siでは供給される酸素はほぼ脱炭、脱けいに消費され、初期スラグ中にもりんが含まれているため、はじめ復りんが進行する。しかし、初期Si濃度が低下すると、Siの酸化に消費される酸素量が低下する結果、界面の酸素濃度が増大し、反応初期から脱りんが同時に進行する。

図5は上図の反応時の溶鉄組成変化をCとSi濃度の関係で示したもので、図中の実線は $P_{\text{CO}}=1\text{ atm}$ の下で、スラグと平衡する場合のC、Siの平衡濃度関係を表す。平衡線より上方では $\text{SiO}_2$ が、下方ではCOガスが安定であることを示している。本実験の初期条件は脱炭が優先する領域であるにもかかわらず、CとSiとが同時に酸化されている。これは前述のように界面での炭素の酸化反応速度が遅く、過剰の酸素がSiの酸化に利用されるためである。

このような反応初期の平衡濃度以上にFeがスラグに移行することやSiの優先酸化が起こる原因が上記の脱炭反応(CO気泡の生成)が化学反応支配であるためと考えられる。

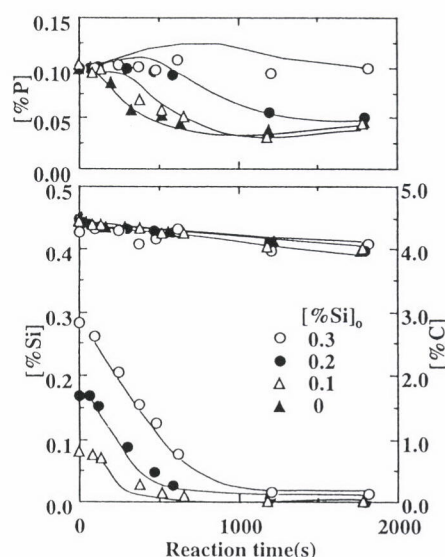
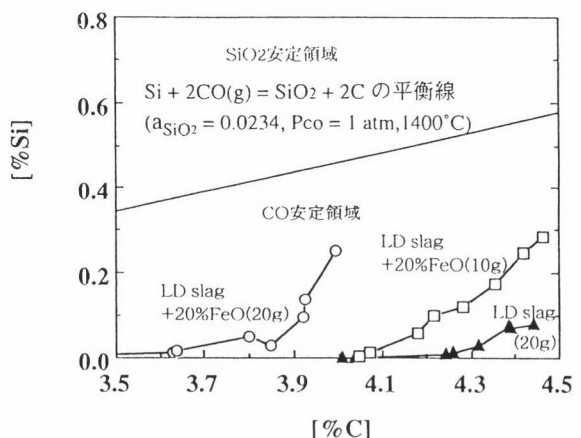


図4 転炉スラグと溶銑との反応挙動に及ぼす初期Si濃度の影響(1400°C)

図5  $\text{FeO}$ 含有スラグによるC、Siの同時酸化挙動

黄に置き換えることで、基本的には競合反応モデルが適用できる。 $\text{Na}_2\text{S}-\text{FeS}$ 系フランクスによる溶銑の脱銅の場合、

## 5 硫化物フランクスによる溶銑の脱銅<sup>8)</sup>

硫化物フランクスの場合、上述の酸化反応での酸素を硫

